

Optimizing AES-GCM on ARM Cortex-M4

https://youtu.be/I0fRG_hE2SA

연구 목표

- 하드웨어 암호 명령어가 없는 Cortex-M4에서도 **고속 & 안전**(constant-time)한 AES-GCM 구현
- Fixslicing과 FACE 기법을 적용하여 AES-CTR 연산 최소화
- GHASH 또한 테이블 기반 vs. Karatsuba 방법 비교로 탐색

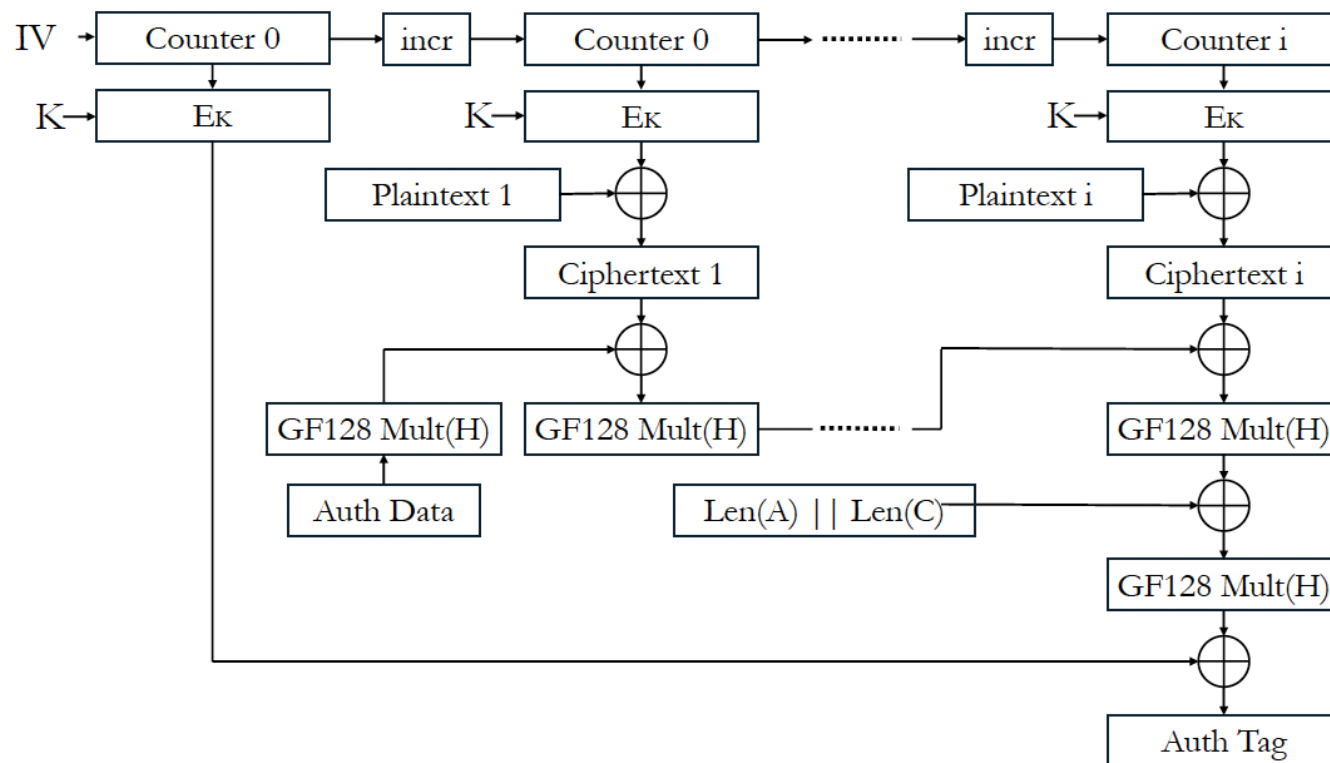
AES-GCM 개요

- **AES-CTR**

- 블록암호 AES를 CTR(카운터) 모드로 사용해 기밀성 확보
- 각 블록마다 카운터 값을 암호화 → Plaintext와 XOR → Ciphertext 생성

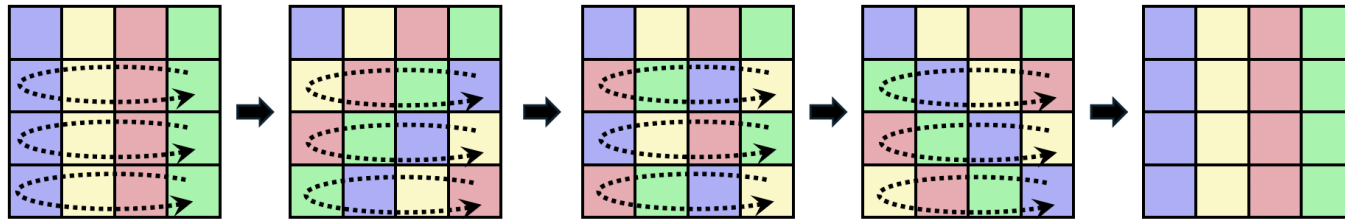
- **GHASH**

- $GF(2^{128})$ 에서의 폴리노믹 곱 연산으로 메시지 무결성·인증 태그(Tag) 생성

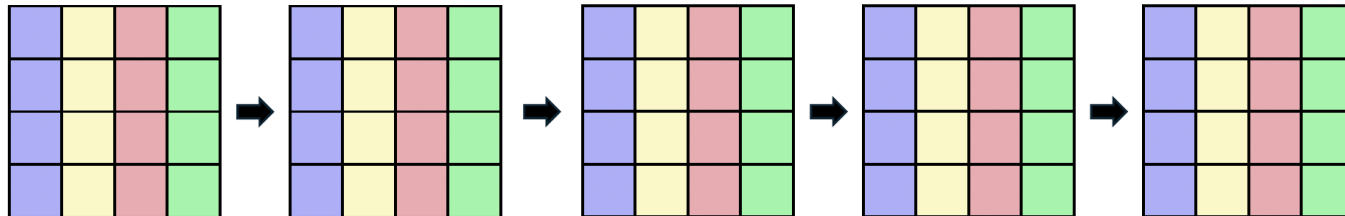


Fixslicing AES

- ARM Cortex-M4에서 **AES-128 기준 80 cycles/byte**, 상수시간 구현중 가장 빠른 성능 보고
- Fixslicing은 라운드마다 MixColumns 변형(MixColumns0, MixColumns1, MixColumns2, MixColumns3)을 적용하여, ShiftRows 효과가 나타나게 함. 비트를 옮길 필요가 없으므로 재배열 오버헤드 감소
- SubBytes + AddRoundKey를 하나로 묶어(Ark_Sub) 로직 연산 최소화



(a) Classical



(b) Fully-fixed

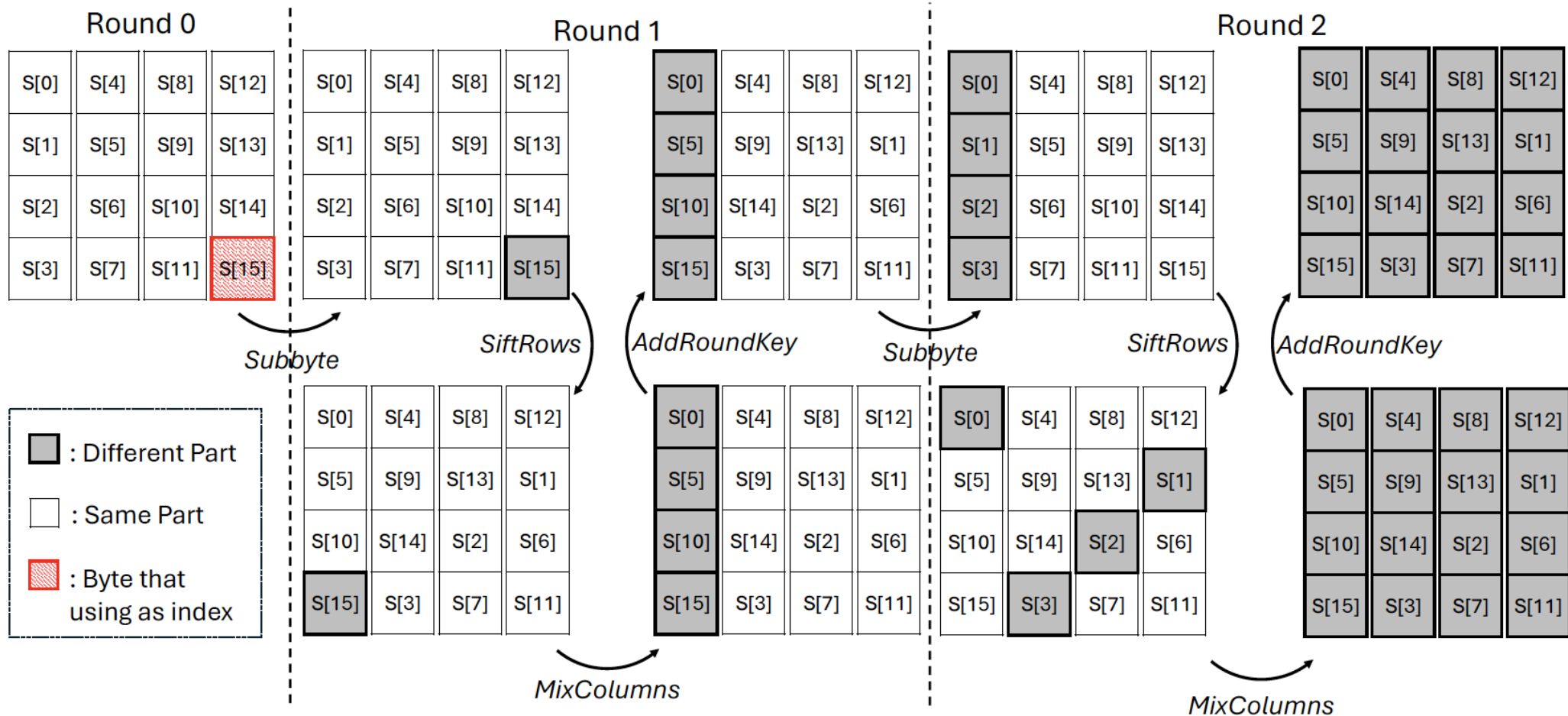
FACE(Fast AES-CTR Encryption)

- CTR 모드에서 카운터가 1씩 증가하는 특성 활용
 - 각 라운드에서 "변하지 않는 부분"을 캐시(재사용)함으로써 반복 연산을 줄임
- FACE의 5가지 주요 변형

Variant	Caching Idea	Memory Overhead	Reset Interval (Blocks)
FACE _{rd0}	Cache AddRoundKey for static bytes	12 bytes	2^8
FACE _{rd1}	Extend caching into Round 1	12 bytes	2^8
FACE _{rd1+}	256-entry lookup for Round 1	1 KB	2^{40}
FACE _{rd2}	Cache Round 2 intermediates	16 bytes	2^8
FACE _{rd2+}	Precompute Round 2 via table	4 KB	2^{40}

$$\begin{aligned} & 3 \cdot S[5] \oplus 1 \cdot S[10] \oplus 1 \cdot S[15] \oplus \text{roundkey}_{2,0}, \\ & 2 \cdot S[5] \oplus 3 \cdot S[10] \oplus 1 \cdot S[15] \oplus \text{roundkey}_{2,1}, \\ & 1 \cdot S[5] \oplus 2 \cdot S[10] \oplus 3 \cdot S[15] \oplus \text{roundkey}_{2,2}, \\ & 1 \cdot S[5] \oplus 1 \cdot S[10] \oplus 2 \cdot S[15] \oplus \text{roundkey}_{2,3}. \end{aligned}$$

FACE(Fast AES-CTR Encryption)



Integrating Fixslicing AES with FACE

적용 포인트1. Fixslicing AES의 방식

1. Ark_Sub (AddRoundKey + SubBytes)

- AddRoundKey + SubBytes를 하나의 루틴으로 합침

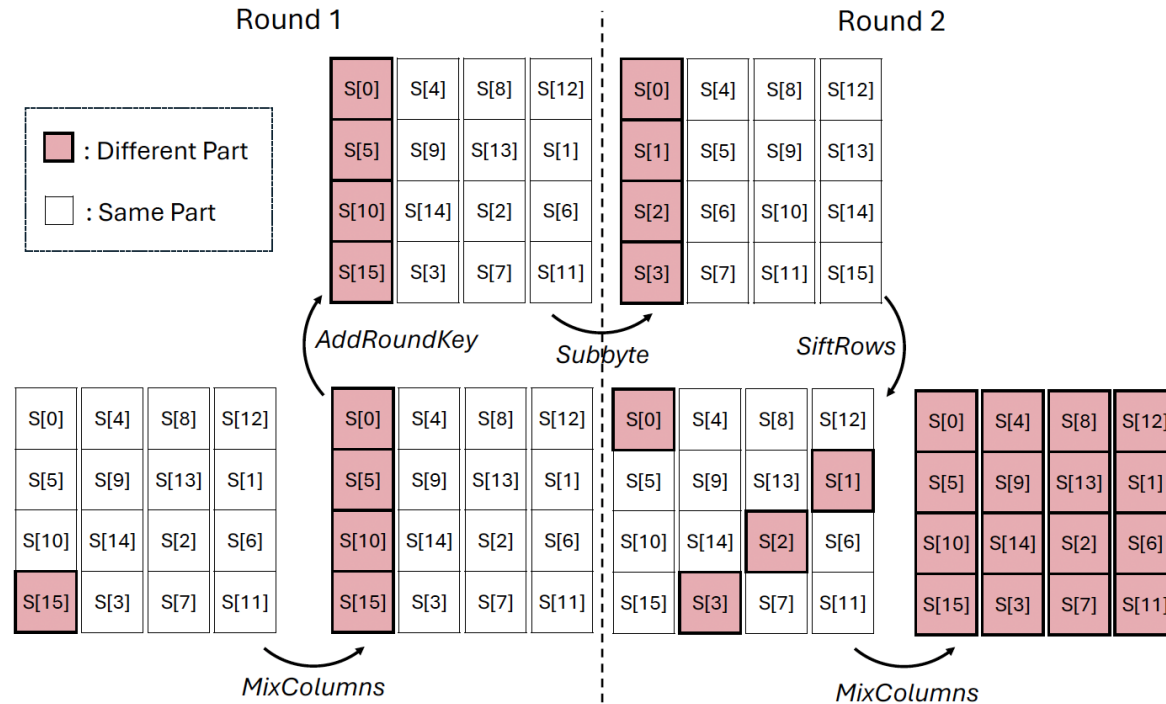
2. MixColumns(0~3)

- 라운드마다 다른 MixColumns 변형 사용 → ShiftRows 효과를 따로 구현하지 않음

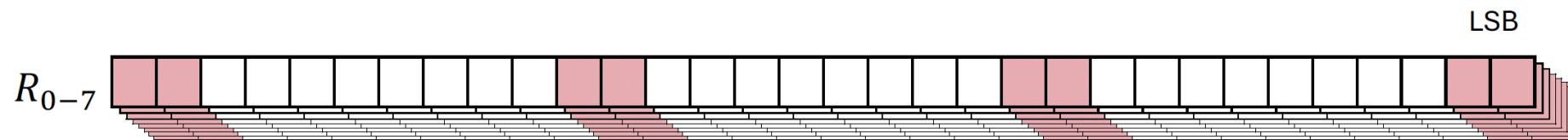
3. Packing/Unpacking

- Bitslicing 형태로 2개 블록 이상을 병렬로 처리

Integrating Fixslicing AES with FACE



(a) Standard AES



(b) Fixslicing AES

Integrating Fixslicing AES with FACE

적용 포인트2.

- **순진한 접근 방식:**
비트 슬라이싱 상태를 기존의 AES와 유사한 형식으로 다시 언패킹하고,
캐싱을 적용한 다음 다시 패킹
 - 패킹과 언패킹은 사이클 오버헤드를 유발, 나머지 암호화 프로세스에 비해 상당
 - 따라서 비트 슬라이싱 상태를 보존하면서 FACE를 적용하는 전략이 필수

rd0

Fixslicing AES의 초기 과정

Packing → *AddRoundKey* → *SubBytes*

접근 방법

- (i) 패킹을 수행하고 패킹된 라운드 키와 XOR을 수행한 다음 결과 상태를 캐싱하여 Fixslicing 시퀀스를 유지
- (ii) 패킹되지 않은 라운드 키와 XOR을 수행한 다음 캐싱

Fixslicing AES의 방식과 충돌

Ark Sub (AddRoundKey + SubBytes)

- AddRoundKey + SubBytes를 하나의 루틴으로 합침

rd1

- **일반적인 바이트 지향 AES 구현**

MixColumns는 각 열을 독립적으로 처리하므로 특정 열을 단독으로 처리가능

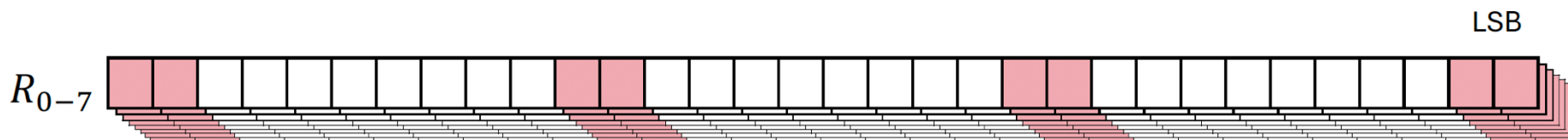
- **Bitslicing 또는 Fixslicing 구현**

상태는 비트 수준에서 재정렬되어 한 열에 속하는 비트가 여러 레지스터에 분산되어 해당 열에 대한 별도처리 비효율

단순히 Fixslicing AES의 MixColumns0 단계를 그대로 사용하여 병렬 작업을 수행함
MixColumns0 결과에 마스크를 적용하여 관련 비트만 남김.

rd1

- 라운드 2의 MixColumns 이전까지 추가 위치 변환을 거치지 않음
따라서 라운드 2 Ark_Sub 단계까지 상태를 캐싱



(b) Fixslicing AES

$$\text{in} = \{S_0[0], S_0[1], \dots, S_0[15], S_1[0], S_1[1], \dots, S_1[15]\}$$

$$\xrightarrow{\text{packing}} \xrightarrow{\text{Ark_Sub}} \xrightarrow{\text{MixColumns0}} \xrightarrow{\text{Ark_Sub}} \xrightarrow{\wedge 0x\text{FCF3CF3F}}$$

$$\text{FACE}_{\text{rd1}} = \{b_0, b_1, b_2, b_3, b_4, b_5, 0, 0, b_8, b_9, b_{10}, b_{11}, 0, 0, b_{14}, b_{15}, \\ b_{16}, b_{17}, 0, 0, b_{20}, b_{21}, b_{22}, b_{23}, 0, 0, b_{26}, b_{27}, b_{28}, b_{29}, b_{30}, b_{31}\}$$

rd1+

- 간단한 접근 방식

FACErd1과 동일하게 변경되는 열만 별도로 처리

$$\text{in} = \{S_i[0], S_i[1], \dots, S_i[15], S_{i+1}[0], S_{i+1}[1], \dots, S_{i+1}[15]\}$$

$$\xrightarrow{\text{packing}} \xrightarrow{\text{Ark_Sub}} \xrightarrow{\text{MixColumns0}} \xrightarrow{\text{Ark_Sub}} \xrightarrow{\wedge 0x030c30c0}$$

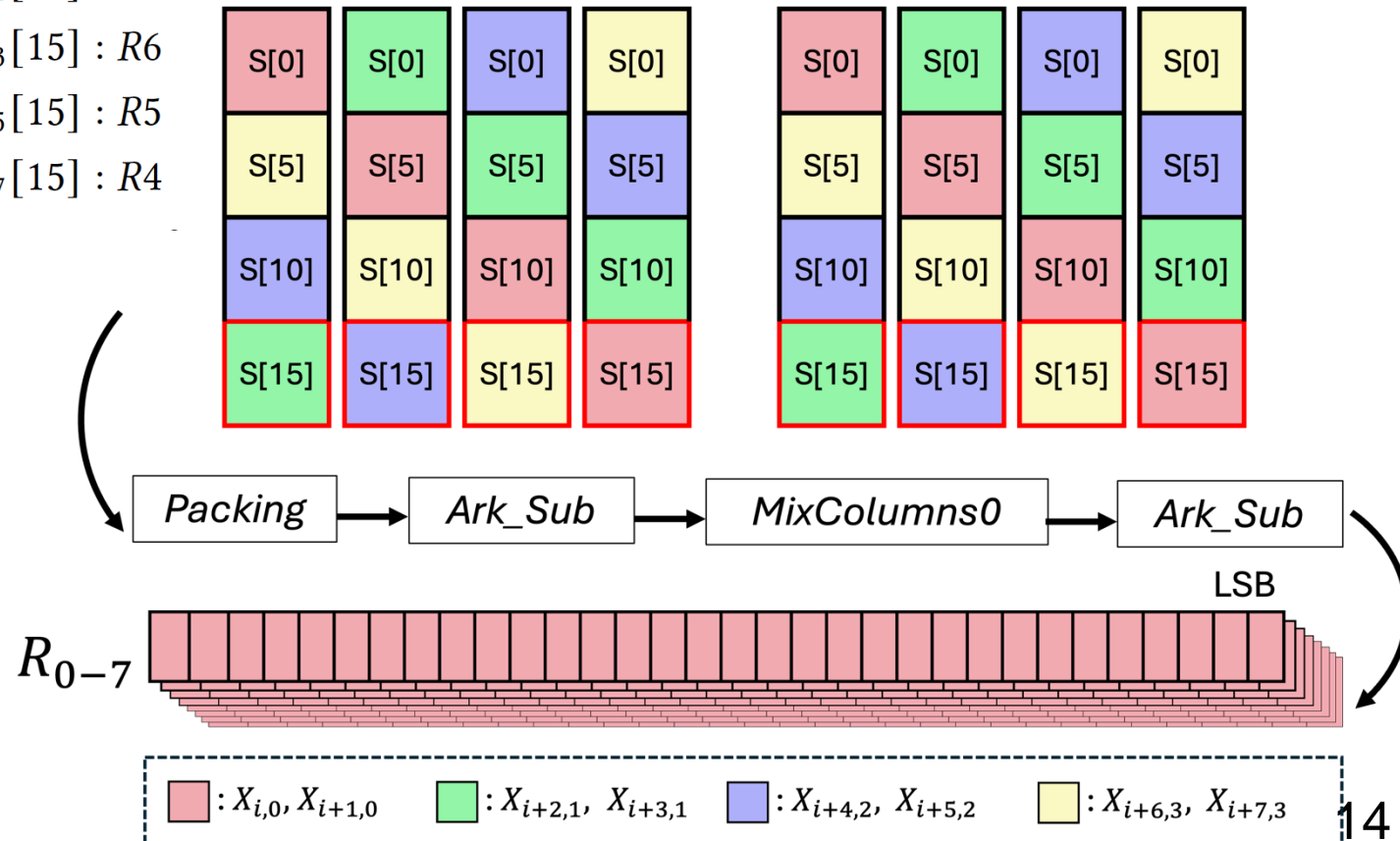
$$\text{FACE}_{\text{rd1+}} = \{0, 0, 0, 0, 0, 0, b_6, b_7, 0, 0, 0, 0, b_{12}, b_{13}, 0, 0, \\ 0, 0, b_{18}, b_{19}, 0, 0, 0, 0, b_{24}, b_{25}, 0, 0, 0, 0, 0, 0\}$$

- 4,096바이트 테이블을 저장 해야함
- FACErd1+에서 필요했던 1,024바이트보다 4배 더 큼

rd1+ : Parallel-Processing Method

- '빈' 공간을 채워 한 번에 8개의 열을 처리함으로써 최적화
- 4배 더 많은 열을 병렬로 처리하기 때문에 전체 연산 수와 메모리 사용량을 크게 줄임

$S_0[0], S_0[5], S_0[10], S_i[15] : R3$ $S_0[0], S_0[5], S_0[10], S_{i+1}[15] : R7$
 $S_0[0], S_0[5], S_0[10], S_{i+2}[15] : R2$ $S_0[0], S_0[5], S_0[10], S_{i+3}[15] : R6$
 $S_0[0], S_0[5], S_0[10], S_{i+4}[15] : R1$ $S_0[0], S_0[5], S_0[10], S_{i+5}[15] : R5$
 $S_0[0], S_0[5], S_0[10], S_{i+6}[15] : R0$ $S_0[0], S_0[5], S_0[10], S_{i+7}[15] : R4$



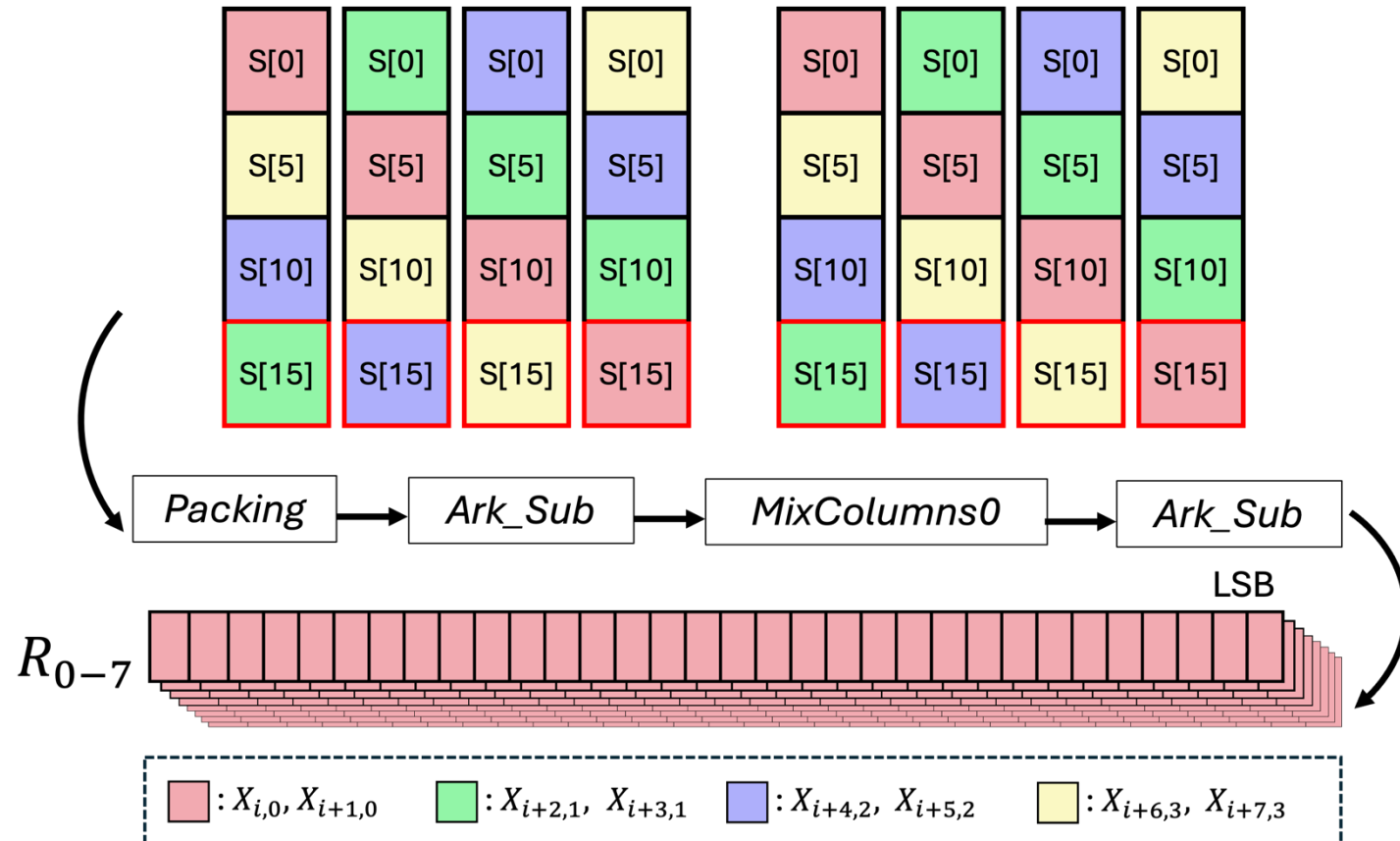
rd1+ : 상태 재배치, 라운드키 수정

```
1  if (block < 2) // block 1,2
2      {out = x & 0x030C30C0;}
3  else if (block < 4) // block 3,4
4      {out = (ROR32(x, 2) & 0x030C3000) ^ ROR32(x & 3, 26); }
5  else if (block < 6) // block 5,6
6      {out = (ROR32(x, 4) & 0x030C0000) ^ (ROR32(x, 28) & 0x000030C0);}
7  else if (block < 8) // block 7,8
8      {t = ROR32(x, 30); out = (t & 0x000C30C0) ^ ROR32(t & 3, 8);}
```

```
1  for(int idx = 0; idx < 16; idx++){
2      temp = (original_rk[idx] & 0x030c30c0);
3      rk[idx] ^= temp;
4      rk[idx] ^= ((temp & 0x3000000) << 6) | ((temp & 0xC30C0) >> 2);
5      rk[idx] ^= ((temp & 0x3000000) << 4) | ((temp & 0xC0000) << 4)
6                  | ((temp & 0x3000) >> 4) | ((temp & 0xC0) >> 4);
7      rk[idx] ^= ((temp & 0x3000000) << 2) | ((temp & 0xC0000) << 2)
8                  | ((temp & 0x3000) << 2) | ((temp & 0xC0) >> 6);
9  }
```

rd1+ : Table-Free Approach (FACErD1).

- 병렬 처리 버전을 " on the fly " 로 적용하여 8개 블록을 처리
- FACErD1과 결합하여 두 번째 라운드의 Ark_Sub까지 계산을 처리
- 큰 LUT의 비용을 피함.



rd2, rd2+

- rd1에서 캐싱한 결과에 MixColumns1
- Rd1+에서 캐싱한 결과에 MixColumns1
- Fixslicing에서 Ark_Sub 구조를 유지하기 위해 MixColumns1까지만

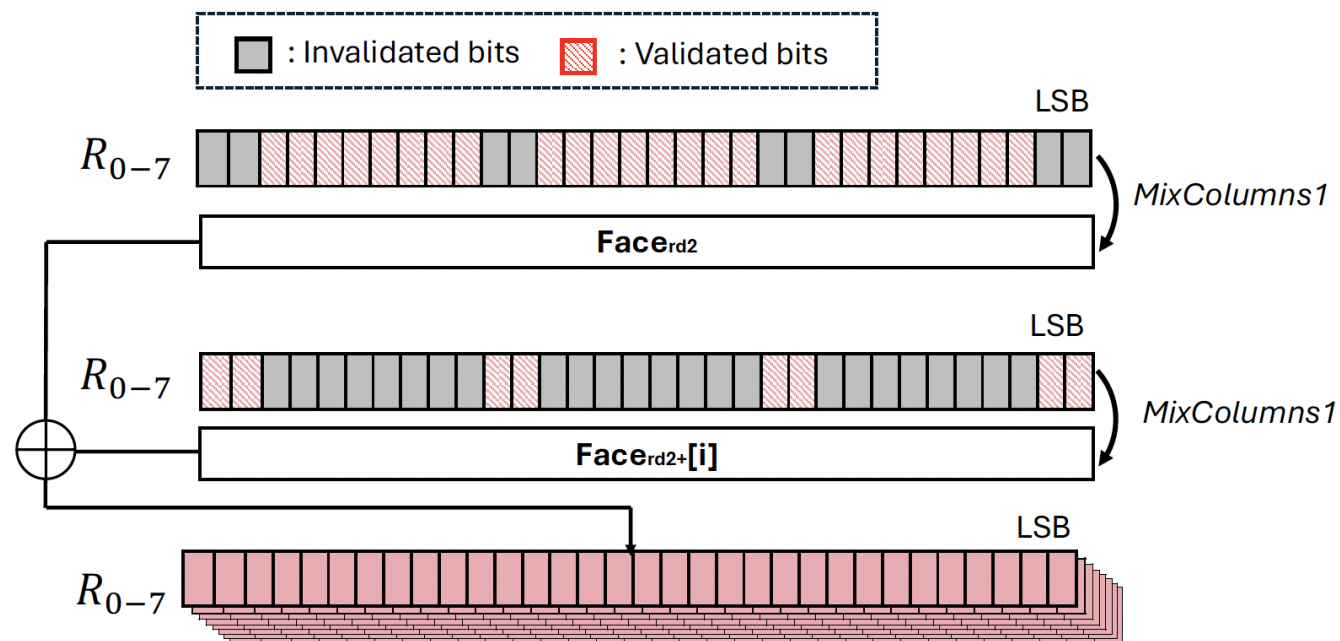


Fig. 10. Schematic of FACE_{rd2} and $\text{FACE}_{\text{rd2+}}$ on Fixslicing AES.

GHASH 최적화

1. 4비트 테이블 기반 방식

1. $GF(2^{128})$ 곱셈을 4비트 단위로 쪼개고, 미리 계산된 테이블(256바이트) 이용
2. 빠른 속도(실험에서 Karatsuba 대비 약 2배 빠름)
3. 하지만 완전한 constant-time 보장은 어려움(캐시 접근, 메모리 타이밍 문제)

2. Karatsuba 기반 곱셈

1. BearSSL 참고, 고정된 시퀀스로 다항식 곱셈 분할 → 캐리 없는 곱셈(\otimes) 조합
2. 테이블을 거의 사용하지 않고, 데이터 종속 분기 없음 → constant-time 구현

성능 평가

실험 환경

- 하드웨어: STM32F407G-DISC1 (ARM Cortex-M4 @ 168MHz)
- 구현 언어: C, 어셈블리(중요 루틴 직접 최적화)
- 테스트
 - 메시지 크기: 1KB ~ 40KB
 - 키 길이: AES-128 / AES-256
 - 측정 방식: DWT(Data Watchpoint and Trace) 카운터를 통한 Cycle 측정(평균 100회)

GCTR 비교

- AES-128: FACE_rd2+ 적용 시 최대 **약 19%** cycle 감소
- AES-256: FACE_rd2+ 적용 시 최대 **약 14%** cycle 감소
- 메시지가 클수록(precomputation이 상쇄되어) 효과 커짐

FACE Variant	1,KB		4,KB		20,KB		40,KB	
	128	256	128	256	128	256	128	256
Basic	117,456	158,453	469,488	633,461	2,345,712	3,166,837	4,691,312	6,333,557
	(0%)	(0%)	(0%)	(0%)	(0%)	(0%)	(0%)	(0%)
FACE_{rd1}	118,666	164,420	431,971	599,738	2,102,571	2,920,616	4,190,821	5,821,796
	(-1.03%)	(-3.77%)	(+8.00%)	(+5.32%)	(+10.36%)	(+7.78%)	(+10.67%)	(+8.08%)
FACE_{rd1+}	118,259	164,366	411,574	580,511	1,980,866	2,799,003	3,941,041	5,572,118
	(-0.68%)	(-3.73%)	(+12.34%)	(+8.36%)	(+15.55%)	(+11.62%)	(+16.00%)	(+12.03%)
FACE_{rd2+}	119,107	164,763	400,915	568,391	1,903,287	2,718,579	3,781,252	5,406,764
	(-1.41%)	(-3.98%)	(+14.60%)	(+10.28%)	(+18.87%)	(+14.15%)	(+19.41%)	(+14.63%)

GHASH 비교

- 4비트 테이블: Karatsuba 대비 약 2배 빠름
- Karatsuba: constant-time, 보안성↑ (캐시 기반 공격 취약성↓)

GHASH	1 KB	4 KB	20 KB	40 KB
Karatsuba	158,749 (0%)	611,293 (0%)	3,024,861 (0%)	6,041,821 (0%)
Table-based	79,402 (+50.0%)	302,390 (+50.5%)	1,491,670 (+50.7%)	2,978,281 (+50.7%)

전체 GCM 비교

- GHASH 부분 비중이 커서, FACE로 AES-CTR을 빨라져도 전체 향상폭은 5~10% 내외
- 큰 메시지에서는 FACE_rd2+와 4비트 테이블 GHASH 조합 시 최대 10~13% 개선

GHASH Technique	FACE Variant	Input Size (bytes)							
		1 KB		4 KB		20 KB		40 KB	
		128	256	128	256	128	256	128	256
Table-based	Basic	206,377	250,657	780,148	946,962	3,929,031	4,659,716	7,664,348	9,301,295
		(0%)	(0%)	(0%)	(0%)	(0%)	(0%)	(0%)	(0%)
	FACE _{rd1}	207,123	257,089	740,507	915,445	3,592,621	4,425,658	7,156,129	8,813,752
		-0.36%	-2.57%	(+5.07%)	(+3.32%)	(+8.56%)	(+5.02%)	(+6.62%)	(+5.23%)
	FACE _{rd1+}	206,894	256,506	721,076	893,638	3,470,230	4,291,684	6,904,704	8,539,152
		-0.25%	-2.33%	(+7.56%)	(+5.63%)	(+11.69%)	(+7.88%)	(+9.90%)	(+8.20%)
	FACE _{rd2+}	207,315	256,511	708,758	880,339	3,382,451	4,206,896	6,724,602	8,365,109
		-0.45%	-2.33%	(+9.16%)	(+7.03%)	(+13.92%)	(+9.72%)	(+12.26%)	(+10.05%)
Karatsuba	Basic	286,425	330,735	1,091,001	1,257,903	5,381,427	6,201,513	10,744,627	12,381,353
		(0%)	(0%)	(0%)	(0%)	(0%)	(0%)	(0%)	(0%)
	FACE _{rd1}	287,956	337,339	1,054,620	1,226,429	5,143,006	5,967,503	10,253,496	11,893,853
		-0.53%	-1.99%	(+3.33%)	(+2.50%)	(+4.42%)	(+3.77%)	(+4.57%)	(+3.94%)
	FACE _{rd1+}	287,320	336,580	1,033,309	1,204,553	5,011,815	5,833,415	9,984,955	11,619,500
		-0.31%	-1.76%	(+5.28%)	(+4.24%)	(+6.87%)	(+5.93%)	(+7.06%)	(+6.16%)
	FACE _{rd2+}	288,077	337,182	1,022,429	1,193,035	4,938,363	5,756,741	9,833,288	11,461,381
		-0.58%	-1.95%	(+6.28%)	(+5.16%)	(+8.24%)	(+7.16%)	(+8.49%)	(+7.45%)

Q & A